

# СВЕРХСВЕТОВЫЕ ПЕРЕМЕЩЕНИЯ В (ПОЛУ)КЛАССИЧЕСКОЙ ОТО

С. В. Красников\*

## Аннотация

Рассматривается возможность сверхсветовых перемещений „нетахионных“ (т. е. движущихся с мгновенной скоростью  $v < c$ ) тел в рамках общей теории относительности. Обсуждается запрет, предположительно налагаемый на такие перемещения квантовой теорией поля. Демонстрируется несостоятельность этого запрета в общем случае.

Ключевые слова: сверхсветовые перемещения, причинность, кротовина, квантовое неравенство.

## 1. СВЕРХСВЕТОВЫЕ ПЕРЕМЕЩЕНИЯ

«Скорость тела, состоящего из обычной („нетахионной“) материи не может превышать скорость света». Если под „скоростью“ понимать „мгновенную скорость“, т. е. скорость в точке, то это утверждение *верно*, но *тавтологично* — если найдется тело, летящее быстрее света, его придется назвать тахионом. На практике, однако, под скоростью в данном случае понимается нечто иное (нечто вроде эффективной средней скорости, как мы увидим). Утверждение оказывается *содержательным* и *неверным*.

Считается, что расстояние между Землей и Денебом составляет  $d = 1500$  световых лет. Допустим, корабль сумел долететь от Земли до Денеба за время  $T_1 < 1500$  лет, или — ниже мы увидим, что это совершенно разные допущения — сумел долететь до Денеба и вернуться на Землю за  $T_2 < 3000$  лет (в обоих случаях время измеряется по земным часам). Представляется вполне законным назвать такое перемещение „сверхсветовым“,

---

\*Главная астрономическая обсерватория РАН

поскольку  $d/T_1 > c$ . Как мы увидим чуть ниже на конкретных примерах, сверхсветовое — в этом смысле — перемещение возможно, в принципе, даже для тела, движущегося с мгновенной скоростью  $v < c$ . Это связано с природой величины  $d$ : в общем случае в ОТО едва ли можно придать разумный смысл понятию „расстояния между телами“, а когда это оказывается возможным, расстояние вовсе не обязано совпадать с тем, что выше было обозначено  $d$ . Утверждение «расстояние между Землей и Денебом составляет 1500 световых лет» следует, строго говоря, понимать следующим образом. Есть область вселенной  $N$ , включающий в себя часть мировой линии Земли, часть мировой линии Денеба и некоторые из соединяющих их изотропных геодезических. Область эта (приблизительно) плоская и мы можем рассматривать ее и как часть реального пространства-времени (с его, возможно, очень сложной геометрией), и как часть *фиктивного* пространства Минковского, в котором мировым линиям Земли и Денеба соответствуют параллельные прямые. Понятие расстояния между такими прямыми вводится очевидным образом. Именно это расстояние и составляет 1500 световых лет.

Как явствует из вышесказанного, сверхсветовые перемещения удобней обсуждать не в терминах скоростей, а сравнивая реальное пространство-время с пространством Минковского [1].

**Определение.** Пусть  $C$  — времениподобный цилиндр  $\sum_{i=1}^3 x_i^2 \leq r_0^2$  в пространстве Минковского  $\mathbb{L}^4$ . Область  $U$  глобально гиперболического пространства  $M$ , а иногда и само  $M$ , будем называть *лазом* (соответствующий английский термин — shortcut), если существует изометрия  $\varkappa: (M - U) \rightarrow (\mathbb{L}^4 - C)$  и пара точек  $p, q \in (M - U)$  таких, что

$$p \preceq q, \quad \varkappa(p) \not\preceq \varkappa(q)$$

(напомню обозначения:  $a \preceq b$  означает, что из точки  $a$  до  $b$  можно провести направленную в будущее причинную кривую; ниже нам еще понадобятся  $J^+(a) \equiv \{x | a \preceq x\}$ ,  $J^-(a) \equiv \{x | x \preceq a\}$  и  $J^\pm(\gamma) \equiv \bigcup_{a \in \gamma} J^\pm(a)$ ). Итак,  $M$  — лаз, если его можно получить из пространства Минковского заменой цилиндра  $C \subset \mathbb{L}^4$  на нечто такое (а именно, на  $U$ ), что точки, пространственноподобно разделенные в  $\mathbb{L}^4$ , становятся причинно связанными. Путешествие сквозь лаз из  $p$  в  $q$  как раз и есть сверхсветовое перемещение, т. к. тело попадает туда, куда свет (будь это пространство Минковского) дойти бы не успел.

**Пример 1.** „Пузырь Алькубиерре“. На плоскости  $\mathbb{R}^2$  рассмотрим метрику

$$ds^2 = \Omega^2(r)(dx^2 + dy^2), \quad r \equiv \sqrt{x^2 + y^2}$$

где  $\Omega$  — монотонная функция такая, что

$$\Omega|_{r>r_0} = 1, \quad \Omega|_{r<(1-\delta)r_0} = \Omega_0 = \text{const}, \quad 0 < \delta, \Omega_0 \ll 1.$$

Все пространство, кроме колечка  $1 - \delta < r/r_0 < 1$  является плоским и, более того, при  $r > r_0$  оно неотлично от Евклидовой плоскости. Тем не менее, точка  $(x = -r_0, y = 0)$  намного ближе ( $\approx 2\Omega_0 r_0$  против  $2r_0$ ) к диаметрально противоположной точке  $(x = r_0, y = 0)$ , чем в случае Евклидовой плоскости. Естественное 4-мерное обобщение (ср. [2])

$$ds^2 = -dt^2 + \Omega^2(r)(dx_1^2 + dx_2^2 + dx_3^2) \quad r \equiv \left( \sum_{i=0}^3 x_i^2 \right)^{1/2}$$

очевидно является лазером [см. рис. 1(а)].

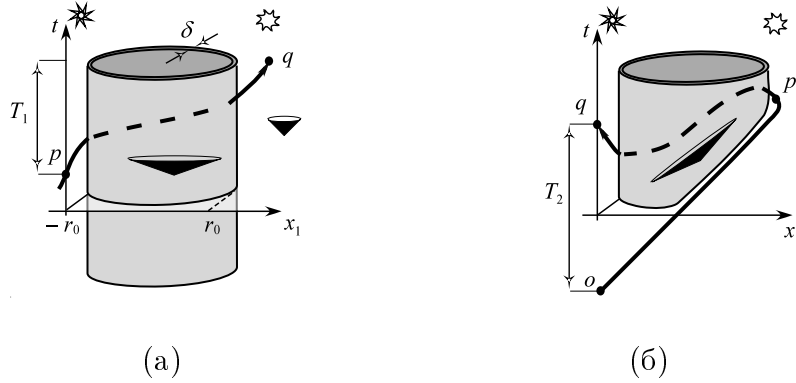


Рис. 1: (а) Световой конус внутри лазера раскрыт (в данных координатах) в  $1/\Omega_0$  раз шире, чем в пространстве Минковского. Поэтому пунктирная линия времениподобна. (б) „Искусственный“ лазер.  $o$  предшествует ему.

**Пример 2. „Труба Красникова“.** Пусть  $M$  — это  $\mathbb{R}^4$  с метрикой [3]

$$ds^2 = (dx_1 - dt)(kdx_1 + dt) + dx_2^2 + dx_3^2, \quad (1)$$

где  $k = k(r)$  — монотонная функция такая, что

$$k|_{r>r_0} = 1, \quad k|_{r<(1-\delta)r_0} = k_0 = \text{const}, \quad -1 < k_0 < 0.$$

Пространство, как и в предыдущем примере, искривлено только в сферическом слое толщины  $\delta$ . Главное — и, как мы увидим ниже, важное — отличие состоит в том, что путешествие теперь может закончиться *еще до того как началось*, см. рис. 1(б). Эффект этот чисто координатный (время

измеряется в разных точках) и с нарушением причинности не связан. Действительно, рассмотрим функцию  $F = t + \frac{k_0-1}{2}x_1$  и любую непродолжимую причинную кривую  $\lambda(\zeta)$ , где  $\zeta$  — натуральный параметр во вспомогательной евклидовой метрике

$$ds_E^2 = \omega_0^2 + \omega_1^2 + dx_2^2 + dx_3^2, \quad \omega_0 \equiv dt + \frac{k-1}{2}dx_1, \quad \omega_1 \equiv \frac{k+1}{2}dx_1$$

(она отличается от метрики (1) только знаком при  $\omega_0^2$ ). Нетрудно доказать, что  $|dF/d\zeta| > (1 + k_0)/2$ , откуда ясно, что  $\lambda$  должна рано или поздно пересечь (единственный раз) поверхность  $F = 0$ . Последняя, т. о., является поверхностью Коши  $M$  и, следовательно (см. [4, предложение 6.6.3]),  $M$  глобально гиперболично. Наличие требуемых  $p$  и  $q$  очевидно, и мы заключаем, что  $M$  — лаз.

**Пример 3. „Кротовина“.** Вырежем из пространства Минковского два тонких цилиндра, см. рис. 2(а), склеим границы получившихся дыр и „сгладим“ метрику в окрестности склейки так, чтобы устранить возникший там разрыв производных. Получившееся пространство [5, 6], называют

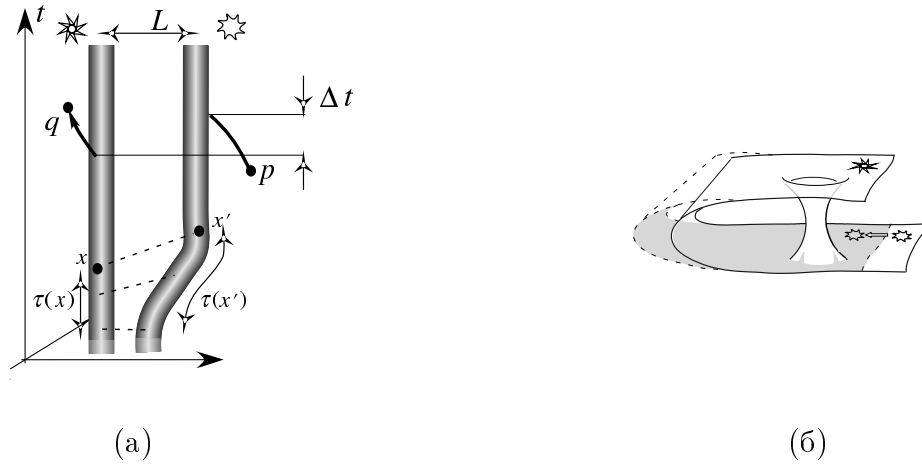


Рис. 2: Кротовина с меняющимся во времени расстоянием между входами. Концы пунктирных линий склеены.

*кротовиной* (в англоязычной литературе — wormhole). Часто так же называют и его пространственноподобное сечение, рис. 2(б). Описанная процедура неоднозначна, т. к. точки на границах цилиндров можно отождествлять по-разному. Обычно склеивают точки с равным  $\tau$ , где  $\tau$  есть (лоренцево) расстояние до некоторой плоскости — скажем,  $t = 0$  — измеренное вдоль образующей цилиндра. Такое правило нужно, если мы хотим описывать

кротовину, эволюционирующую, как показано на рис. 2(б): расстояние между входами во „внешнем“ пространстве меняется, а форма кротовины (и, соответственно, ее „длина“) — нет. Очевидно, если при  $t > 0$  один вход покоится, а другой движется, то у склеиваемых точек окажется разное  $t$  („парадокс близнецов“). Поэтому, кротовину можно (в частности) использовать и для перемещений, которые „кончатся раньше, чем начались“, см. рис. 2(а). Как и в прошлом примере, это не обязательно нарушает причинность: если  $\Delta t < L$ , пространство остается глобально гиперболическим и, как следствие, — лазом.

Пригодность лазов для межзвездных перелетов различна. Будем говорить, что точка  $o \in M$  *предшествует* лазу, если  $\varkappa$  может быть продолжена на  $M - J^+(o)$ , и назовем лаз *вечным*, если ему не предшествует никакая точка. Очевидно, в отсутствие тахионов лаз можно интерпретировать как созданный по решению, принятому в  $p$ , только если  $p$  этому лазу предшествует. Вечный же лаз создать вообще нельзя, а можно только *найти*.

Все три рассмотренных выше лаза, будучи статическими, являются, конечно, вечными. В случае кротовины это обстоятельство принципиально — в глобально гиперболическом пространстве-времени кротовина не может ни появиться, ни исчезнуть (см. [4, предложение 6.6.8]). В то же время, два первых лаза легко модифицировать так, чтобы они перестали быть вечными. Достаточно отменить при  $t, r < r_0$  условия наложенные на  $\Omega$  и  $k$ , а при  $t < r$  потребовать, чтобы  $\Omega$  и  $k$  были равны 1. Таким лазам предшествует, например, начало координат.

К сожалению, точка  $p$ , фигурирующая в определении лаза, не может этому лазу предшествовать (иначе  $q$  — в противоречии с определением — лежала бы в  $M - J^+(p)$ , поскольку  $\varkappa(q)$  лежит в  $\mathbb{P}^4 - J^+[\varkappa(p)]$ ). Т. о., когда решение лететь к Денебу принято, строить лаз уже поздно в том смысле, что  $T_1$  это не уменьшит. Что, однако, не обесценивает идею такого строительства — лазом еще не поздно воспользоваться для уменьшения  $T_2$  (см. рис. 1(б)), а это, похоже, для практических нужд гораздо важнее.

## 2. КВАНТОВЫЕ ОГРАНИЧЕНИЯ

До сих пор мы обсуждали возможность преодоления „светового барьера“ с чисто геометрической точки зрения. Однако, в рамках ОТО геометрия вселенной и свойства заполняющего ее вещества связаны уравнениями Эйнштейна  $G_{ik} = 8\pi T_{ik}$  (здесь и ниже по умолчанию подразумевается система единиц, в которой  $G = \hbar = c = 1$ ), и можно поставить вопрос

о том, какими свойствами должен обладать тензор энергии-импульса (ТЭИ) материи, заполняющей лаз. Оказывается, во всех рассмотренных выше примерах есть точки, где  $G_{ik}t^i t^k < 0$  для некоторого времениподобного вектора  $\mathbf{t}$  и, значит, нарушается т. н. слабое энергетическое условие (СЭУ), требующее, чтобы

$$T_{ik}t^i t^k \geq 0 \quad \forall \mathbf{t}: t^i t_i \leq 0,$$

т. е. чтобы плотность энергии была неотрицательна в любой системе отсчета. Хотя строгое доказательство пока найдено только для кротовин [7], похоже, что нарушение СЭУ присуще *любому* лазу. Грубо говоря, если бы плотность энергии всюду была неотрицательна, то естественно было бы ожидать, что на больших расстояниях (т. е. в Ньютоновском пределе) гравитационное поле убывало бы, как  $1/r^2$ , а не исчезало совсем, как того требует определение лаза.

В классической физике плотность энергии предположительно не может быть отрицательной (поэтому вещество, нарушающее СЭУ называют *экзотическим*) и т. о. для сверхсветовых перелетов остаются две возможности:

1). Можно исследовать ситуации, в которых нарушения СЭУ связаны просто с тем, что мы приписали нулевую кривизну области  $N$ . Тем самым мы *заранее* посчитали отсутствующими любые источники энергии и, в том числе, нужные для обеспечения (соблюдающего СЭУ) сверхсветового перелета. Чтобы последовательно учесть наличие потенциальных источников энергии (скажем, звезд, лежащих чуть в стороне от прямой Земля–Денеб), понятие лаза придется обобщить (это не трудно) так, чтобы  $M$  сравнивалось не с  $\mathbb{L}^4$ , а с неким — тоже искривленным —  $M'$ . Такого рода лазы, действительно, не требуют экзотического вещества (см. Приложение в [1]), но вопрос о том, насколько эффективными в этом случае они могут быть, остается открытым.

2). Можно также учесть квантовые поправки к уравнениям Эйнштейна. В полуклассической гравитации [8, 9] последние приобретают вид

$$G_{ik} = 8\pi T_{ik}^C + 8\pi T_{ik},$$

где  $T_{ik}^C$  — вклад классической материи, а второй член — это ренормированное среднее значение ТЭИ рассматриваемого поля. Известно, что  $T_{ik}$  может нарушать СЭУ (классический пример — эффект Казимира). Эта, вторая возможность с точки зрения квантовой теории поля гораздо интересней, на ней мы и остановимся.

Пусть  $\gamma(\tau)$  — мировая линия свободно падающего наблюдателя и  $\tau$  — его собственное время. Рассмотрим „усредненную с  $\chi$ “ плотность энергии

$\rho = T_{\hat{0}\hat{0}}$  (шляпки над индексами тензора означают, что его компоненты определяются в ортонормированном базисе, с нулевым ортом  $\partial_\tau$ )

$$\rho_\chi(\tau_0) \equiv \int_{-\infty}^{-\infty} \rho(\tau)\chi(\tau - \tau_0) d\tau,$$

где интеграл берется вдоль  $\gamma$ , а функция  $\chi$  нормирована условием

$$\int_{-\infty}^{-\infty} \chi(\tau) d\tau = 1.$$

В случае скалярного (с минимальной связью) и электромагнитного полей в  $d$ -мерном пространстве Минковского ( $d = 2, 4$ ) доказано [10], что для функций специального вида, а именно  $h(\tau) \equiv \pi^{-1}\Delta/(\tau^2 + \Delta^2)$ , справедливо неравенство

$$\rho_h > -\Delta^{-d}. \quad (2)$$

Факт этот часто интерпретируется как математическое выражение некоего „принципа дополнительности“, связывающего нарушения СЭУ с промежутком времени  $\Delta$ , в течение которого его можно наблюдать: чем сильнее нарушение (т. е. чем больше  $|\rho|$ ), тем меньше  $\Delta$ . Исходя из идеи, что искривленное пространство является „почти плоским“, если рассматривается достаточно маленькая область, Форд и Роман предположили [11], что подобный принцип верен универсально — т. е. для любых квантовых состояний любых свободных\* полей в любом пространстве-времени. Конкретно, если усреднение производится с функцией  $f$ :

$$f \in C^\infty, \quad \text{supp } f \in (\tau_1, \tau_2), \quad \int_{\tau_1}^{\tau_2} [f'(\tau)]^2 / f(\tau) d\tau \lesssim 1, \quad (3)$$

то, предположительно [12], должно выполняться неравенство

$$\rho_f \gtrsim -\mathcal{T}^{-d} \quad \forall \mathcal{T} \lesssim \mathcal{T}_R, \quad (4)$$

где

$$\mathcal{T} \equiv |\tau_2 - \tau_1|, \quad \mathcal{T}_R \equiv (\max |R_{\hat{i}\hat{j}\hat{m}\hat{n}}|)^{-1/2}.$$

Максимум здесь берется по всем компонентам и всем  $\tau \in (\tau_1, \tau_2)$ . Физический смысл „квантового неравенства“ (4) примерно тот же, что и (2), а условие на  $\mathcal{T}$  должно гарантировать малость рассматриваемой области (иногда его приходится дополнять неким топологическим требованием, см. раздел 3.1).

---

\*Что для взаимодействующих полей он заведомо неверен, видно уже из того, что ему не подчиняется (даже в плоском пространстве) эффект Казимира, в котором  $\rho(t) = \text{const} < 0$ .

Выбор функций (3) вызван тем, что именно для таких  $f$  неравенство (4) удалось доказать (при  $d = 2$  для безмассового скалярного поля в состоянии конформного вакуума [13, 14]).

Квантовое неравенство (КН) позволяет весьма эффектно продемонстрировать „нефизичность“ лазов, рассмотренных выше [15]<sup>†</sup>. Ход рассуждений приблизительно таков. Пусть  $p$  такая точка, что через нее проходит времениподобный геодезический сегмент  $\gamma(\tau)$  длины  $\mathcal{T}_R$ , вдоль которого  $\rho$  отрицательна и примерно постоянна. Предположим,

$$\max |R_{\hat{j}\hat{m}\hat{n}}(p)| \lesssim \max |T_{\hat{k}\hat{l}}(p)| \approx -\rho(p) \quad (5)$$

(во всех трех лазах действительно можно найти  $p$ , удовлетворяющую предъявленным требованиям). Применяя (4) с  $\mathcal{T} = \mathcal{T}_R$  к  $\gamma$ , получим

$$|\rho_f| < \mathcal{T}_R^{-4} = (\max |R_{\hat{j}\hat{m}\hat{n}}|)^2 \lesssim \rho^2(p) \quad (6)$$

или

$$|\rho(p)| \gtrsim \rho_f/\rho(p) \approx 1. \quad (7)$$

Т. о. плотность энергии в  $p$  должна быть Планковской! В рассмотренных выше примерах можно представить себе, что СЭУ нарушается только в тонком — скажем, Планковской толщины — сферическом слое. Однако, если мы хотим использовать лаз для перемещения макроскопических объектов (с характерным размером  $l$ ), то естественно ожидать, что диаметр слоя будет  $\sim l$  и объем  $V \sim \pi l_{\text{Pl}} l^2$ . Поэтому при  $l \sim 1$  м „суммарное количество отрицательной энергии“, заключенное даже в столь тонком слое будет чудовищным:

$$|E_{\text{tot}}^-| = -\rho V \sim \pi \left( \frac{2, 2 \times 10^{-8} \text{ кг}}{(1, 6 \times 10^{-35} \text{ м})^3} \right) 1 \text{ м}^2 (1, 6 \times 10^{-35} \text{ м}) \approx 3 \times 10^{62} \text{ кг}. \quad (8)$$

Очевидно, каков бы ни был (несколько туманный) физический смысл величины  $E_{\text{tot}}^-$ , этот результат следует интерпретировать как полную невозможность создания такого рода лазов даже в очень отдаленном будущем. Сам по себе этот факт не слишком важен в случае пространств из примеров 1, 2. Действительно, оба пространства выбиралась настолько простыми, насколько позволяла задача, для которой они были придуманы: иллюстрация *принципиальной* совместимости сверхсветовых перемещений с запретом локального превышения скорости света. Можно предполагать поэтому, что нежелательные свойства требующихся для них источников являются следствиями именно этой простоты. Проблема, однако, в том, что рассуждения, приведшие к (8), представляются настолько общими, что кажется, будто они справедливы для *любого* лаза. Это означало бы, что квантовое неравенство исключает сверхсветовые перемещения.

<sup>†</sup>На самом деле, в этих работах рассматривались чуть более сложные метрики.



### 3. УНИВЕРСАЛЬНОСТЬ ОГРАНИЧЕНИЙ

Общность рассуждений, обосновывающих (8), в действительности несколько обманчива. Существует ряд ситуаций, в которых КН, даже если оно справедливо, не требует, тем не менее, справедливости (8). Рассмотрим некоторые из них (подробности см. [1, 16]).

#### 3.1 Нелокальные эффекты

Как известно [9], у безмассового скалярного поля на цилиндре

$$ds^2 = -dt^2 + dx^2 \quad x = x + L.$$

есть квантовое состояние, в котором  $\rho = -\frac{\pi}{6}L^{-2}$ . Такая плотность энергии очевидно противоречит (4), поскольку в данном случае  $\mathcal{T}_R = \infty$ . Возможно, это связано с тем, что на масштабах  $\gtrsim L$  цилиндр — хотя он и плоский — все же „недостаточно похож“ на часть пространства Минковского. Т. о. условие на величину  $\mathcal{T}$  в (4) *необходимо дополнить* еще каким-нибудь требованием, которое бы учитывало такую возможность. Можно, в частности<sup>‡</sup>, ограничить действие КН геодезическими  $\gamma$  настолько короткими, что  $J_\gamma \equiv J^+(\gamma) \cap J^-(\gamma)$  имеет топологию шара (как это имеет место в  $\mathbb{H}^4$ ). Такое условие, однако, выводит из-под действия КН наиболее интересную разновидность кротовин. Действительно, пусть  $\lambda$  — любой времениподобный геодезический отрезок в горловине статической (для простоты) кротовины. Можно показать, что при  $\Delta t \rightarrow L$  и *неизменной геометрии горловины* на  $\lambda$  обязательно найдутся точки, соединимые *негомоторной*  $\lambda$  причинной кривой (и значит  $J_\lambda$  уж точно не шар). Т. о., КН оказывается тем менее ограничительным, чем „эффективнее“ кротовина с точки зрения межзвездных перелетов.

#### 3.2 Искривление пространства удаленными телами

Важную роль при выводе (7) играло неравенство в (5), выражающее идею, что кривизна в  $p$  возникает за счет наличия в  $p$  экзотического вещества. С учетом уравнений Эйнштейна обсуждаемое неравенство приобретает вид

$$\max |R_{i\hat{j}\hat{m}\hat{n}}(p)| \lesssim \max |G_{\hat{k}\hat{l}}(p)| \quad (9)$$

---

<sup>‡</sup>Это обобщение условия, которое Фьюстер [14] использует в случае  $d = 2$ . Других приемлемых (т. е., как минимум, координатно независимых) вариантов подобного условия пока не предлагалось.

и на *первый взгляд* должно выполняться всегда при отсутствии специальных симметрий или подгонок параметров. Это, однако, не верно. Кривизна в точке определяется (среди прочего) тензором Вейля:

$$R_{i\hat{j}\hat{m}\hat{n}} = C_{i\hat{j}\hat{m}\hat{n}} - g_{i[\hat{n}}R_{\hat{m}]j} - g_{j[\hat{m}}R_{\hat{n}]i} - \frac{1}{3}g_{i[\hat{m}}g_{\hat{n}]j}R.$$

Т. о. основания ожидать, что (9) справедливо, есть только, когда

$$P \equiv \max |C_{i\hat{j}\hat{m}\hat{n}}| / \max |R_{i\hat{j}}| \lesssim 1,$$

а это, *как правило*, не выполняется. В частности, в *любой* искривленной, но пустой области (например, в окрестности любой звезды)  $P = \infty$ .

### 3.3 Неоднородное распределение материи

Попробуем воспроизвести вывод (8), опустив условие постоянства  $\rho(\tau)$ . Тогда для оправдания последнего неравенства в (6) придется потребовать  $|\rho(p)| \approx \max_{\gamma} |\rho|$ . С другой стороны, для (7) нужно  $|\rho_f| \gtrsim |\rho(p)|$ . Значит для получения таким способом (8) существенно, чтобы  $|\rho_f| \approx \max_{\gamma} |\rho|$ , т. е.

$$|\rho_f| \gtrsim |\bar{\rho}|, \quad \bar{\rho} \equiv \mathcal{T}^{-1} \int_{\tau_1}^{\tau_2} \rho(\tau) d\tau \quad (10)$$

( $\bar{\rho}$ , очевидно, есть *обычное* среднее). Вкупе с (4) это значит, что необходимым условием является

$$|\bar{\rho}| \lesssim \mathcal{T}^{-d} \quad \text{при} \quad \mathcal{T} \lesssim \mathcal{T}_R. \quad (11)$$

Верно ли неравенство (4) за пределами двумерного конформно-тривиального случая неизвестно, но вот (11) определенно нарушается даже и в этом случае [16].

**Пример 4.** Рассмотрим двумерное пространство де Ситтера. При подходящем выборе координат  $u, v$  (покрывающих *все* пространство) метрика в области  $W = \{\epsilon < \arctg e^{2v} < \arctg e^{2u} < \frac{\pi}{2} - \epsilon\}$  примет вид

$$ds^2 = \alpha^2 \sinh^{-2}(u - v) du dv.$$

ТЭИ безмассового скалярного поля в состоянии конформного вакуума, ассоциированного с так записанной метрикой [9]

$$T_{vv} = T_{uu} = -\frac{1}{12\pi}, \quad T_{uv} = \frac{1}{12\pi} \sinh^{-2}(u - v).$$

Пусть  $\gamma$  — сегмент времениподобной геодезической, заданный условием

$$v + u = 0, \quad t \in [t_1, t_2], \quad t \equiv \frac{1}{2}(v - u).$$

Потребуем, обеспечив этим, в частности,  $\gamma \subset W$ , чтобы

$$\frac{1}{2} \ln \tan \epsilon < t_1 < t_2 \ll -1.$$

Плотность энергии, измеренная наблюдателем с мировой линией  $\gamma$ , будет

$$\rho = T_{\hat{0}\hat{0}} = 2(T_{uu} - T_{vv})(\alpha^2 \sinh^{-2}(u - v))^{-1} \approx -\frac{\sinh^2(u - v)}{6\pi\alpha^2},$$

откуда

$$-\bar{\rho} = \frac{\mathcal{T}^{-1}}{6\pi} \int_{t_1}^{t_2} \alpha^{-1} \sinh(u - v) dt \approx \frac{\mathcal{T}^{-1}}{24\pi} \alpha^{-1} e^{-2t_1}.$$

В то же время

$$\mathcal{T} = - \int_{t_1}^{t_2} \alpha \sinh^{-1} 2t dt \approx \alpha \int_{2t_1}^{2t_2} e^s ds \approx \alpha e^{2t_2}.$$

Таким образом,

$$\bar{\rho} = -\frac{1}{24\pi} e^{2(t_2-t_1)} \mathcal{T}^{-2}, \quad \mathcal{T} \ll \mathcal{T}_R = \alpha,$$

что очевидно нарушает (к тому же сколь угодно сильно при достаточно малых  $\epsilon$  и  $t_1$ ) неравенство (11).

### 3.4 „Экономные“ лазы

Даже если плотность энергии экзотического вещества  $\rho \sim -1$ , отсюда в общем случае все еще не следует (8). Дело в том, что  $V$ , на самом деле, не обязательно должен быть  $\gtrsim l^2$ .

**Пример 5. „Портал“.** Введем две положительные константы,  $\rho_0$ , и  $\eta_\epsilon$ , связанные требованием  $\rho_0 \gg \eta_\epsilon^2$ , и две функции — произвольную гладкую четную функцию  $\varepsilon(\eta)$  со свойством  $\sup \varepsilon = (-\eta_\epsilon, \eta_\epsilon)$  и  $\rho$ , определенную равенством

$$\rho(\eta, \psi) \equiv \rho_0 - \eta^2 \cos 2\psi.$$

Рассмотрим пространство-время

$$\begin{aligned} ds^2 &= -dt^2 + 4(\varepsilon^2 + \eta^2)(d\eta^2 + \eta^2 d\psi^2) + \rho^2 d\phi^2, \\ \eta, \rho &\geq 0, \quad \phi = \phi + 2\pi, \quad \psi = \psi + 2\pi. \end{aligned} \tag{12}$$

(подразумевается, что точки с  $\eta = 0$ , различающиеся только значением  $\psi$ , отождествляются, так же как и точки с  $\rho = 0$ , различающиеся только

значением  $\phi$ ). Чтобы увидеть структуру этого пространства-времени (подробнее см. [1]), заметим, что при  $\eta > \eta_\varepsilon$  метрика имеет вид

$$ds^2 = -dt^2 + dz^2 + d\rho^2 + \rho^2 d\phi^2,$$

где  $z \equiv \eta^2 \sin 2\psi$ . Поскольку  $z(\psi) = z(\pi + \psi)$ , можно представить пространство (12), как результат следующей хирургии. Возьмем два экземпляра Евклидова пространства  $\mathbb{E}^3$  и вырежем из каждого по диску  $\mathcal{D}$  радиуса  $\rho_0$ . Склеим теперь эти разрезанные пространства: левый берег каждого разреза отождествляется с правым берегом другого. Получившееся пространство (на самом деле, это просто двулистное накрытие  $\mathbb{E}^3 - \mathbb{S}$ , где  $\mathbb{S} = \text{Bd } \mathcal{D}$ ) сингулярно, т. к. мы вынуждены удалить точки ветвления  $\mathbb{S}$  (в них теряется структура хаусдорфова многообразия). Оказывается, однако, что если должным образом искривить его метрику в полнотории (толщины  $\eta_\varepsilon^2$  в нашем случае), окружающем  $\mathbb{S}$ , то указанная сингулярность *устранима*. В пространство можно вклеить окружность так, что оно станет полно. Это и будет сечение  $t = \text{const}$  пространства-времени (12).

Чтобы получить из (12) лаз, достаточно удалить по полупространству — скажем,  $z > d$  и  $z < -d$  — из каждого листа, а появившиеся границы склеить. Результат показан на рис. 3(а).

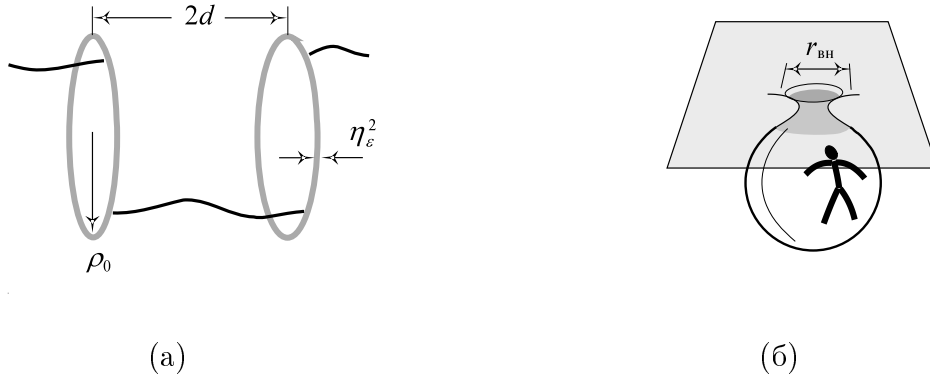


Рис. 3: (а) „Портал“. Два серых кольца, на самом деле, представляют собой *единый* полноторий. Верхняя толстая кривая непрерывна. Нижняя — является нестягиваемой петлей. (б) „Карман Ван Ден Брука“. СЭУ нарушается только в горловине (более темный участок).

Макроскопическое тело может пройти сквозь портал с  $\rho_0 \sim l/2$  при том, что область ненулевой кривизны в таком портале имеет объем  $V \sim$

$\pi l$  (я выбрал  $\eta_\varepsilon \sim 1$ ). Даже если она вся заполнена экзотическим веществом планковской плотности, то  $|E_{\text{tot}}^-|$  при  $l \sim 1$  м составит  $\sim 5 \times 10^{27}$  кг. Хотя это и очень большая величина, она все же на 35 порядков (!) меньше той, что предсказана (8) и составляет „всего лишь“  $\sim 2 \times 10^{-3} M_\odot$ .

Следует также отметить, что лаз, пригодный для транспортировки макроскопических тел не обязан *сам* быть макроскопическим, обстоятельство позволяющее, в принципе, уменьшить  $E_{\text{tot}}^-$  еще на 35 порядков. Дело в том, что даже очень большой объем может быть ограничен сферой очень маленькой площади. Например, в пространстве, показанном на рис. 3(б) область заполненная экзотическим веществом — это сферический слой радиуса  $r_{\text{вн}}$ . И какую бы большой ни была область с пассажиром,  $r_{\text{вн}}$  может оставаться микроскопическим [17]. Можно, в частности потребовать  $r_{\text{вн}} \sim 1$ . Для удержания от схлопывания такого „кармана“ достаточно, оказывается, всего  $E_{\text{tot}}^- \sim -10^{-3}$  г экзотической материи [1].

## Список литературы

- [1] *S. Krasnikov*. Phys. Rev. D. 2003. V. 67. 104013.
- [2] *M. Alcubierre*. Class. Quantum Grav. 1994. V. 11. L73.
- [3] *S. Krasnikov*. Phys. Rev. D. 1998. V. 57. P. 4760.
- [4] *С. Хокинг, Дж. Эллис*. Крупномасштабная структура пространства-времени. Пер. с англ. М.: Мир, 1977. [S. W. Hawking and G. F. R. Ellis. The Large scale structure of spacetime. Cambridge: Cambridge University Press, 1973.]
- [5] *M. S. Morris and K. S. Thorne*. Am. J. Phys. 1988. V. 56. P. 395.
- [6] *M. Visser*. Lorentzian wormholes — from Einstein to Hawking. New York: AIP Press, 1995.
- [7] *J. L. Friedman, K. Schleich, and D. M. Witt*. Phys. Rev. Lett. 1993. V. 71. P. 1486.
- [8] *А. А. Гриб, С. Г. Мамаев, В. М. Мостепаненко*. Вакуумные квантовые эффекты в сильных полях. М.: Энергоатомиздат, 1988. [English transl.: A. A. Grib, S. G. Mamayev, and V. M. Mostepanenko. Vacuum Quantum Effects in Strong Fields. St.Petersburg: Friedmann Laboratory Publishing, 1994.]

- [9] *Н. Биррелл, П. Девис.* Квантованные поля в искривленном пространстве-времени. Пер. с англ. М.: Мир, 1984. [N. D. Birrell and P. C. W. Davies. *Quantum Fields in Curved Space.* Cambridge: Cambridge University Press, 1982.]
- [10] *L. H. Ford and T. A. Roman.* Phys. Rev. D. 1995. V. 51. P. 4277;  
*L. H. Ford and T. A. Roman.* Phys. Rev. D. 1997. V. 55. P. 2082.
- [11] *L. H. Ford and T. A. Roman.* Phys. Rev. D. 1996. V. 53. P. 5496.
- [12] *L. H. Ford, M. J. Pfenning, and T. A. Roman.* Phys. Rev. D. 1998. V. 57. P. 4839.
- [13] *D. N. Vollick.* Phys. Rev. D. 2000. V. 61. 084022; *É. É. Flanagan.* *ibid.* 2002. V. 66. 104007.
- [14] *C. J. Fewster.* Phys. Rev. D. 2004. V. 70. 127501.
- [15] *M. J. Pfenning and L. H. Ford.* Class. Quantum Grav. 1997. V. 14. P. 1743; *A. E. Everett and T. A. Roman.* Phys. Rev. D. 1997. V. 56. P. 2100.
- [16] *S. Krasnikov* Электронный препринт gr/qc-0409007.
- [17] *C. Van Den Broeck.* Class. Quantum Grav. 1999. V. 16. P. 3973.